

# АНАЛИЗ ВЛИЯНИЯ ГРАВИТАЦИОННЫХ СИЛ НА РАСПРЕДЕЛЕНИЕ ВОДОНАСЫЩЕННОСТИ ВБЛИЗИ НЕФТЯНЫХ СКВАЖИН

О. Б. Бочаров, И. Г. Телегин

(Институт водных и экологических проблем СО РАН, Новосибирск;

Тюменский государственный нефтегазовый университет; Российский научный центр, компания «Бейкер Хьюз БВ»)

**Ключевые слова:** водонасыщенность, нефтеотдача, краевые условия, двухфазная фильтрация

**Key words:** water saturation, oil recovery, boundary conditions, two-phase filtration

Для учета двухфазности потоков, капиллярных и гравитационных сил при гидродинамическом моделировании нефтяных месторождений используется модель фильтрации Маскета-Левеверетта (МЛ модель) [1]. Общие свойства решений различных краевых задач для этой модели в области течения анализировались в [2-4]. С развитием методов повышения нефтеотдачи и инверсии данных скважинного каротажа большой интерес вызывает детализация процессов, происходящих в окрестности скважин, то есть граничные свойства решений. МЛ модель позволяет использовать богатый набор возможных краевых условий, описанных в частности в [4-5]. В работе [5] исследовалось влияние некоторых граничных условий на распределение водонасыщенности в окрестности нагнетательных скважин.

В данной работе изучается влияние уклонов продуктивных слоев на распределение водонасыщенности вблизи добывающих скважин в зависимости от используемых краевых условий для изотермической модели фильтрации Маскета-Левеверетта.

## 1. Уравнение МЛ-модели

В одномерном случае, при заданной суммарной скорости фильтрации  $v(t)$ , уравнение для водонасыщенности в МЛ модели можно записать [3]:

$$m \frac{\partial s}{\partial t} = \frac{\partial}{\partial x} (K_0 a_0 (-\frac{\partial p_c}{\partial x} - f_1) - v(t)b) \equiv -\frac{\partial v_1}{\partial x}, \quad (1)$$

где  $x \in [0, L]$  – пространственная переменная,  $t$  – время,  $S$  – динамическая водонасыщенность порового пространства, определяемая по формуле  $S = (S_1 - S_1^0)/(1 - S_1^0 - S_2^0)$ ,  $S_i$  – истинная насыщенность флюидом порового пространства (индекс  $i=1$  соответствует воде, а  $i=2$  – нефти),  $S_i^0$  – остаточная насыщенность,  $m = m_0(1 - S_1^0 - S_2^0)$  – эффективная пористость,  $a_0(s) = k_2 b / \mu_2$ ,  $b \equiv b_1 = \frac{k_1}{k_1 + \mu k_2}$ ,  $b_i(s) = \frac{k_i / \mu_i}{(k_1 / \mu_1 + k_2 / \mu_2)}$  – доля  $i$ -й фазы в потоке,  $\mu = \mu_1 / \mu_2$ ,  $\mu_i$  – вязкость  $i$ -й фазы,  $k_i(s)$  – относительные фазовые проницаемости,  $v_i$  – скорости фильтрации,  $v = v_1 + v_2$ ,  $m_0$  – пористость,  $K_0$  – тензор абсолютной проницаемости,  $p_c(s) = \gamma(m_0 / K_0)^{1/2} j(s)$  – капиллярное давление,  $j(s)$  – функция Леверетта,  $\gamma$  – коэффициент поверхностного натяжения,  $f_1 = (\rho_1 - \rho_2) \vec{g} \cdot \vec{e}_x$ ,  $\vec{g} \cdot \vec{e}_x = g \cdot \cos(\vec{g}, \vec{e}_x)$ ,  $\vec{e}_x$  – орт оси ОХ,  $\vec{g}$  – вектор ускорения свободного падения,  $g$  – ускорение свободного падения.

Свойства функциональных параметров МЛ модели, а также качественные свойства её решений описаны [3,4,6]. Вопросы построения и свойств численных решений классической задачи вытеснения для уравнения (1) подробно рассмотрены в работах [2,4,8], где сравниваются решения в условиях несжимаемости жидкостей ( $\rho_i = const$ ), в негоризонтальном  $\vec{g} \neq \vec{0}$ , несжимаемом ( $m_0 = const$ ), однородном ( $K_0 = const$ ) нефтяном пласте при задании для уравнения (1) различных начально-краевых условий.

Положив  $v(t) = V_0 = const$ , введем безразмерные величины:  $\bar{x} = x / L$ ,  $\bar{t} = t V_0 / (mL)$ . Черта над  $\bar{x}$ , и  $\bar{t}$  в дальнейшем опускается, уравнение (1) запишется в [8]:

$$\frac{\partial s}{\partial t} = \frac{\partial}{\partial x} (\varepsilon a \frac{\partial u(s)}{\partial x} - Ga - b) \equiv -\frac{\partial v_1}{\partial x}, \quad (2)$$

где  $\varepsilon = \gamma(m_0 K_0)^{1/2} / (V_0 L \mu_2)$  – капиллярный параметр,  $a(s) = k_2 b$ ,  $u(s) = -j$ ,  $G = K_0(\rho_1 - \rho_2) \vec{g} \cdot \vec{e}_x / (V_0 \mu_2)$ . При  $\varepsilon = 0$  будем иметь модель Баклея-Левеверетта.

## 2. Постановка начально-краевой задачи

**Начальные условия для водонасыщенности** задаем в виде

$$s(x, 0) = s_0(x).$$

**Краевые условия для водонасыщенности на входе.**

Классический вариант условия: на входе в пласт задается водонасыщенность:

$$s|_{x=0} = 1, \quad (3a)$$

что соответствует поступлению в пласт только смачивающей фазы.

Другой вариант, если вместо насыщенности на нагнетательной скважине задаётся расход вытесняющей фазы:

$$v_1|_{x=0} = -(\varepsilon a \frac{\partial u}{\partial x} - Ga - b)|_{x=0} = 1. \quad (3b)$$

Данное условие позволяет изучать динамику изменения  $s(x, t)$  при  $x = 0$  во времени.

**Краевые условия для водонасыщенности на выходе.**

На выходе, как правило, используется условие  $\frac{\partial s}{\partial x}|_{x=L} = 0$ . Это условие реализует разные гипотезы об условиях вытекания:

- пренебрежение градиентом капиллярного давления по сравнению с градиентами давления в фазах [2];
  - истечение фазы пропорционально её подвижности (  $c_i = K_0 k_i(s) / \mu_i$  ) [7];
  - вариант условия свободного истечения в задачах гидродинамики [9].
- В более общем виде данное условие можно записать следующим образом:

$$\varepsilon a \frac{\partial u}{\partial x} \Big|_{x=1} = 0. \quad (4a)$$

Фактически это соответствует пренебрежению капиллярными силами в окрестности нефтяной скважины.

С другой стороны, известно, экспериментально установленное явление, называемое «концевым» эффектом [1,2], которое заключается в том, что смачивающая фаза не вытекает из гидрофильного пласта до того момента, пока её насыщенность на выходе не достигает максимально возможного значения, равного 1. При этом происходит выравнивание давлений в фазах согласно свойству функции Леверетта  $j(1) = 0$ . В момент достижения этого значения, смачивающая фаза прорывается с дальнейшим сохранением на выходе постоянного значения ее насыщенности. То есть, если  $t'$  – момент прорыва, то на эксплуатационной скважине имеем условие:

$$\begin{aligned} v_1 \Big|_{x=1} &= 0, \quad \text{при } t < t'; \\ s \Big|_{x=1} &= 1, \quad \text{при } t > t'. \end{aligned} \quad (46)$$

Данное краевое условие (46) является более сложным по сравнению с условием (4a).

Для получения краевого условия на выходе часто используется гипотеза о пропорциональности расходов фазы  $v_i$  функции  $b_i$  (доля фазы в общем потоке жидкости по модели Баклея-Леверетта):

$$v_i \Big|_{x=1} = b_i v.$$

С учетом обезразмеривания эти уравнения можно переписать в виде ( $b \equiv b_i$ ):

$$v_1 \Big|_{x=1} = b \Big|_{x=1} = -(\varepsilon a \frac{\partial u}{\partial x} - Ga - b) \Big|_{x=1}.$$

В итоге приходим к условию:

$$(\varepsilon a \frac{\partial u}{\partial x} - Ga) \Big|_{x=1} = 0. \quad (4в)$$

Данное уравнение при  $G = 0$  (отсутствие гравитационного влияния) переходит в более простое (4a).

В работе [4], для вывода граничного условия используется гипотеза о том, что доля фазы в суммарном потоке на выходе из пористой среды пропорциональна ее подвижности:

$$\frac{v_2}{v_1} \Big|_{x=1} = \frac{K_0 k_2 / \mu_2}{K_0 k_1 / \mu_1}.$$

Выражая  $v_2$  и подставляя в равенство  $v = v_1 + v_2$ , получим следующее выражение:

$$v \Big|_{x=1} = v_1 \left( 1 + \frac{k_2 / \mu_2}{k_1 / \mu_1} \right).$$

Отсюда, как и ранее, опять приходим к (4в).

Мы рассмотрим при условии (3б) на входе, варианты (4а), (4б) и (4в) на выходе. Получаем 3 начально-краевых задачи: **вариант 1** – (3б), (4а), **вариант 2** – (3б), (4б) и **вариант 3** – (3б), (4в). Анализ решений данных задач, при отсутствии гравитационных сил ( $G = 0$ ) с акцентом на поведение решения вблизи нагнетательной скважины  $x = 0$  представлен в работе [5].

### 3. Численный алгоритм

Введем сетку  $\omega$  с распределенными узлами  $\omega_{h\tau} = \{x_i = ih, i = 0, \dots, N, n = 0, 1, 2, \dots\}$ ,  $h = 1/N$  – шаг по пространственной координате,  $\tau = Kh^2$  – шаг по временной переменной,  $K$  – число Куранта. Шаг  $h$  брался равным 0,005 ( $N = 200$ ), а  $\tau = 0,00025$ . В дальнейшем при записи разностных схем используются обозначения, принятые в работе [10].

Уравнение для  $s(x, t)$  аппроксимировалось неявной разностной схемой первого порядка:

$$\frac{s_i^{n+1} - s_i^n}{\tau} = \frac{\varepsilon}{h} (a_{i+1/2}^n u_{x,i}^{n+1} - a_{i-1/2}^n u_{x,i}^{n+1}) - (Ga)_{o,i}^n - b_{x,i}^{n+1}, \quad i = \overline{1, N-1}, n = 0, 1, \dots; s_i^0 = 0, i = \overline{0, N}. \quad (5)$$

Краевое условие (4б) аппроксимировалось следующим образом:

$$\frac{h}{2} \frac{s_0^{n+1} - s_0^n}{\tau} = 1 + \varepsilon a_{1/2}^n u_{x,1}^{n+1} - Ga_{1/2}^n - b_{1/2}^{n+1}.$$

Краевое условие (4а) заменялось разностным уравнением:

$$\frac{s_N^{n+1} - s_N^n}{\tau} = -\frac{2\varepsilon}{h} a_{N-1/2}^n u_{x,N}^{n+1} - Ga_{x,N}^n - b_{x,N}^{n+1}.$$

Нелинейное условие (4б) аппроксимировалось разностной системой:

$$\begin{cases} s_N^{n+1} = 1, & t > t' \\ \frac{h}{2} \frac{s_N^{n+1} - s_N^n}{\tau} = -\varepsilon a_{N-1/2}^n u_{x,1}^{n+1} + Ga_{N-1/2}^n + b_{N-1/2}^{n+1}, & t < t'. \end{cases}$$

Для краевого условия (4в) использовалось соотношение:

$$\frac{h}{2} \frac{s_N^{n+1} - s_N^n}{\tau} = -\varepsilon a_{N-1/2}^n u_{x,1}^{n+1} + Ga_{N-1/2}^n - \frac{(b_N^{n+1} - b_{N-1}^{n+1})}{2},$$

где  $a_{i+1/2}^n = a((s_i^n + s_{i+1}^n)/2)$ . Система уравнений (5) решалась методом правой прогонки. Для нелинейных функций  $b(s)$  и  $u(s)$  применялась линеаризация по Ньютону:

$$f(s_i^{n+1}) = f(s_i^n) + \frac{df(s_i^n)}{ds} \cdot (s_i^{n+1} - s_i^n) \cdot$$

На каждом временном шаге вычисляли основные характеристики процесса вытеснения: положение  $x_c(t)$  – фронтовой водонасыщенности в БЛ модели  $S_c$ , которая определяется решением нелинейного уравнения  $\frac{db(s_c)}{ds} - \frac{b(s_c)}{s_c} = 0$  с помощью метода деления пополам. Также контролировалась обводненность пласта  $\eta(t) = 100\% \int_0^1 s(x,t) dx$ . В расчетах использовались модельные параметры и данные:

$$k_1 = s^2, \quad k_2 = (1-s)^2, \quad j = (1-s)/(0,9+s), \quad \rho_1/\rho_2 = 1,25, \quad \mu = 0,1.$$

Далее на рисунках (1-5) тонкими линиями обозначены решение  $s(x,t)$  и характеристики с использованием условия (4а), точками – результаты расчета с использованием условия (4б), толстыми – решения, полученные с использованием условия (4в).

#### 4. Заводнение продуктивного слоя сверху

Приведены решения, полученные для вариантов 1, 2 и 3 при  $\varepsilon = 0,1$  и  $G = 0,5 \geq 0$ , то есть заводнение ведётся с верхнего края пласта (см. рис. 1). Выведены графики, характеризующие поведение решения вблизи нефтяной скважины (см. рис. 2). После подхода фронта вытеснения к добывающей скважине ( $t = t_f$ ) для всех 3-х вариантов насыщенность достаточно быстро выходит на значение, близкое к фронтовой ( $s_c = 0,3015$ ). Далее графики существенно расходятся. Капиллярное запирание (4б) приводит к быстрому росту  $S$  до 1. Условие свободного выхода (4а) дает профиль  $s(1,t)$  соответствующий пространственному распределению насыщенности в пласте. Условие (4в) реализует процесс всплытия более легкой нефти после достижения водой скважины. В результате чего ее обводненность увеличивается по сравнению с вариантом свободного выхода фаз (см. рис. 2). То есть условие (4в), в данном случае, осуществляет как бы «гравитационное запирание» более легкой фазы. Экстремум водонасыщенности в точке  $x=1$  (см. рис.1) объясняется использованием краевого условия  $(\varepsilon a \frac{\partial u}{\partial x} - Ga)|_{x=1} = 0$ , которое приводит к следующему выражению:  $\frac{\partial s}{\partial x} = G/(-\varepsilon \cdot \frac{dj}{ds})$ . Так как по свойствам функции Леверетта,  $\frac{dj}{ds} < 0$ , а  $G > 0$ , то в точке  $x=1$  значения производной  $\frac{\partial s}{\partial x}$  становятся положительными, что и приводит к формированию максимума.

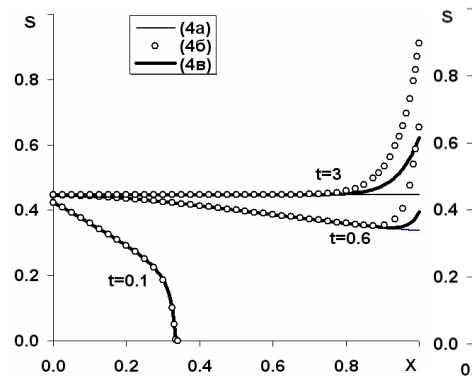


Рис.1. Распределение  $s(x,t)$  при  $G=0,5$

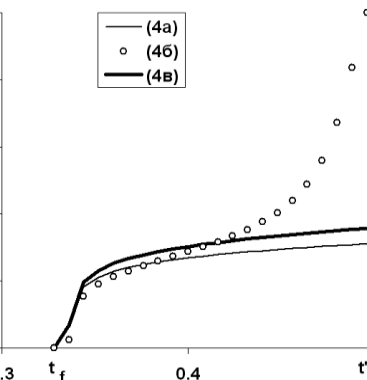


Рис.2. Графики  $s(1,t)$  к рис.1

#### 5. Заводнение продуктивного слоя снизу

Приведены графики  $s(x,t)$  и  $s(1,t)$  соответственно для вариантов 1, 2 и 3 при  $G = -0,5 \leq 0$ , то есть заводнение ведётся с нижней части слоя (см. рис. 3, 4). После подхода фронта вытеснения ( $t = t_f$ ), учет гравитационного всплытия нефти условием (4в) приводит к меньшей обводненности добывающей скважины по сравнению с условием свободного выхода (4а), то есть имеет место эффект, обратный предыдущей задаче: происходит гравитационное запирание тяжелой фазы (см. рис.4). Следует отметить, что в данных условиях, в период времени между подходом фронта вытеснения  $t_f$  и моментом прорыва воды  $t'$  по условию (4б), взаимодействие гравитационных и капиллярных сил выглядит нагляднее, более растянутым по времени. В задаче п. 4 «условие капиллярного запирания» (4б) быстро обеспечивает наибольшую обводненность добывающей скважины. Здесь же (см. рис. 4) при данном соотношении  $\varepsilon$  и  $G$ , до определенной обводненности, гравитационное запирание более тяжелой фазы (вода) мощнее, чем капиллярное запирание. В результате накопление воды на выходе при условии (4 в) происходит быстрее.

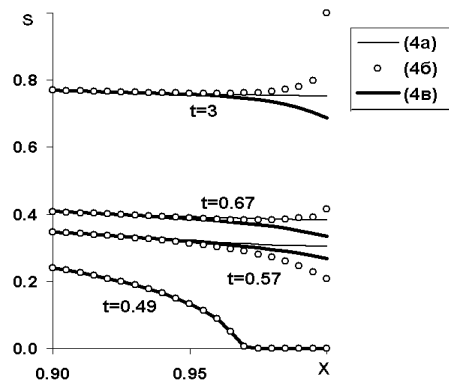


Рис. 3. Распределение  $s(x, t)$  при  $G = -0,5$

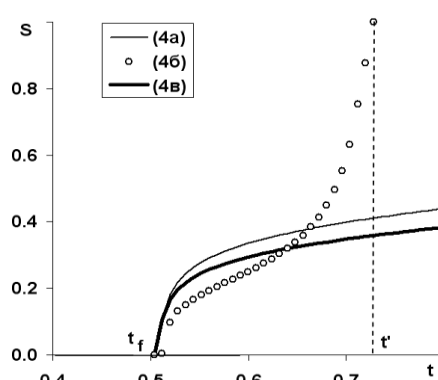


Рис. 4. Графики  $s(1, t)$  к рис. 3

## 6. Капиллярно-гравитационное взаимодействие на выходе

Взаимодействие капиллярных и гравитационных сил в окрестности нефтяной скважины можно проследить по графикам (см. рис. 5-8).

Приведено отклонение обводненностей пласта при применении условий (4б) —  $\eta_b$  и (4в) —  $\eta_v$  от соответствующего параметра  $\eta_a$ , при  $t = 1 \gg t'$  в процентах:  $z_b = 100(\eta_a(1) - \eta_b(1)) / \eta_a(1)$ ,  $z_v = 100(\eta_a(1) - \eta_v(1)) / \eta_a(1)$  (см. рис. 5, 6), то есть  $z_b$  характеризует влияние гравитации при условии капиллярного запираания (4б),  $z_v$  при использовании условия выхода по подвижностям (4в). Условие (4в) более чувствительно к уклону пласта, а именно: при смене знака  $G$ ,  $z_v$  также меняет знак, в то время как  $z_b$  меняет только модуль (см. рис.5), хотя и значительно. Условие (4 в) более симметрично влияет на решение при смене знака  $G$  (см. рис. 5, 6).

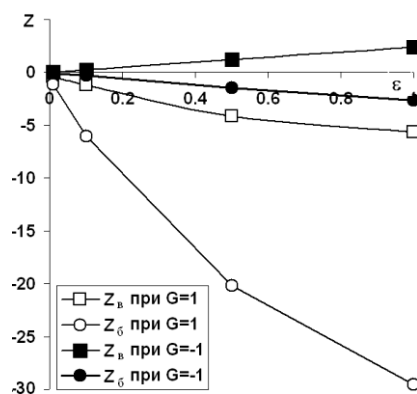


Рис. 5. Влияние капиллярных сил на обводненность при различных  $G$

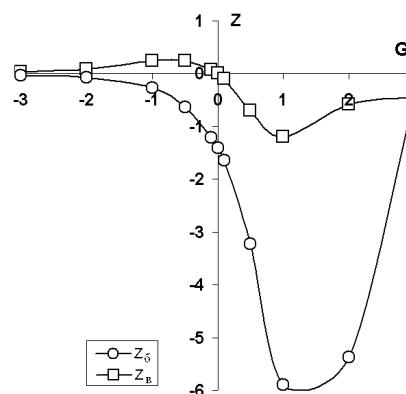


Рис. 6. Влияние наклона пласта на обводненность при  $\epsilon = 0,1$

Приведено сравнение поведения водонасыщенности на выходе из пласта при условиях (4 а) — свободный выход и (4 в) — выход пропорционально подвижностям при различных  $\epsilon$  (см. рис. 7) и  $G$  (см. рис. 8). Динамику по величине капиллярных сил можно наблюдать лишь при малых  $\epsilon < 0,2$  (см. рис.7). В дальнейшем наблюдается выход на асимптотический режим, определяемый величиной  $G$ . Гравитационные силы сильнее влияют на решение при условии (4а), потому что оно выключает капиллярные силы на выходе.

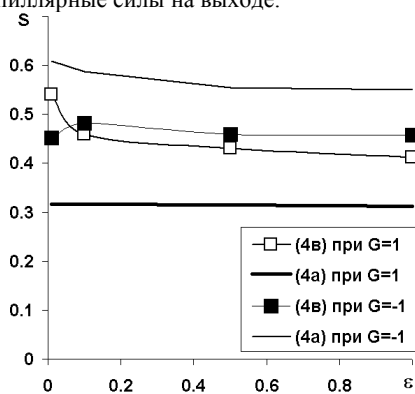


Рис. 7. Влияние капиллярных сил на динамику  $s(1, t)$  при  $|G| = 1$

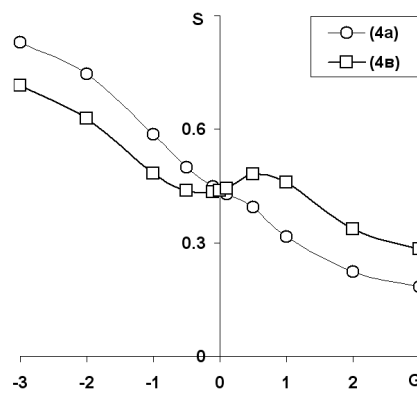


Рис. 8. Влияние гравитации на  $s(1, t)$  при  $\epsilon = 0,1$

При  $|G| > 1$  водонасыщенности, полученные при условиях (4а) и (4в) ведут себя подобным образом (см. рис. 8). При  $|G| < 1$  условие (4в) дает большую свободу к взаимодействию капиллярных и гравитационных сил. Наблюдаются симметричные по знаку  $G$  локальные экстремумы.

Проведённые численные эксперименты показывают, что различные гидродинамические и математические условия на скважинах приводят к разным пространственным и временным распределениям водонасыщенности в прискважинных областях. Это может оказать влияние на интерпретацию данных каротажа и на создание проектных документов разработки месторождений.

Условие капиллярного запираания в виде (4б) очень жестко воздействует на решение, задавливая возможное проявление других эффектов. Для данного класса задач, вероятно, наиболее адекватными являются условия выхода пропорционально подвижностям (4в).

#### **Список литературы**

1. Коллинз Р. Течения жидкостей через пористые материалы. – М.: Мир, 1964.
2. Швидлер М. И., Леви Б. И. Одномерная фильтрация несмешивающихся жидкостей. – М.: Недра, 1970. - 156 с.
3. Доманский А. В. Исследование методов повышения нефтегазоотдачи. - Южно-Сахалинск: Изд-во СахГУ, 2000. - 152 с.
4. Коновалов А. Н. Задачи фильтрации многофазной несжимаемой жидкости. - Новосибирск: Наука, СО АН, 1988. - 166 с.
5. Бочаров О. Б., Телегин И. Г. Влияние граничных условий на водонасыщенность вблизи скважин. // Известия вузов. Нефть и газ. - 2011. - № 2. - С.18-25.
6. Антонцев С. Н., Кажихов А. В., Монахов В. Н. Краевые задачи механики неоднородных жидкостей. – Новосибирск: СОАН СССР, Наука, 1983. - 316 с.
7. Бочаров О. Б., Телегин И. Г. Сравнительный анализ некоторых разностных схем для задач двухфазной фильтрации без учета капиллярных сил // Вычислительные технологии. 2003. Том 8. № 4. - С. 23-31.
8. Бочаров О. Б., Телегин И. Г. Численное исследование неизоэнтальпической фильтрации несмешивающихся жидкостей в гравитационном поле // Теплофизика и Аэромеханика. 2004. Том 11. № 2. - С. 281-290.
9. Роуч П. Вычислительная гидродинамика. - М.: Мир, 1980. - 616 с.
10. Самарский А. А. Введение в теорию разностных схем. - М: Наука. 1971.- 552 с.

#### **Сведения об авторах**

**Телегин Игорь Григорьевич**, к.ф.-м.н., доцент, Тюменский государственный нефтегазовый университет, тел.:8(3452)632391, e-mail: igtelegin@yandex.ru

**Бочаров Олег Борисович**, к.ф.-м.н., доцент, Институт водных и экологических проблем СО РАН, тел.: 8(383)3332808, e-mail:bob@ad-sbras.nsc.ru

**Teleguin I. G.**, Candidate of Science, associate professor, Tyumen State Oil and gas University, phone: 8(3452)632391, e-mail: igtelegin@yandex.ru

**Bocharov O. B.**, Candidate of Sciences in Physics and Mathematics, associate professor, Institute of water and ecology problems, SB RAS, phone: 8(383)3332808, e-mail:bob@ad-sbras.nsc.ru